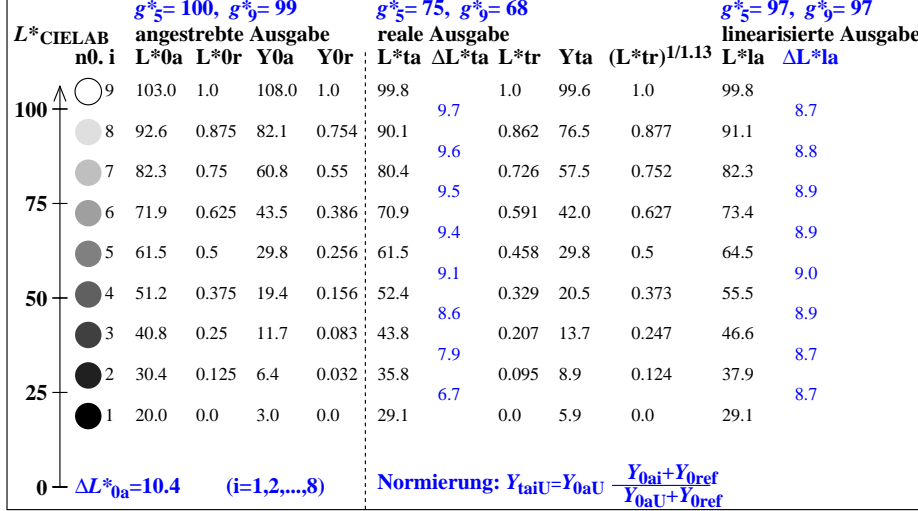


9stufige Grauskalierung zwischen $L^*_{0aN}=20.0$ und $L^*_{0aW}=103.0$, $Y_{0ref}=3.6$, Normierung Grau U

$L^*_{0aN}=20.0$, $L^*_{0aU}=61.5$, $L^*_{0aW}=103.0$, $Y_{0aN}=3.0$, $Y_{0aU}=29.8$, $Y_{0aW}=108.0$, $C_{0aY}=Y_{0aW}:Y_{0aN}=36.0$
 $L^*_{taN}=29.1$, $L^*_{taU}=61.5$, $L^*_{taW}=99.8$, $Y_{taN}=5.9$, $Y_{taU}=29.8$, $Y_{taW}=99.6$, $C_{taY}=Y_{taW}:Y_{taN}=16.9$

Regularitätsindex nach ISO/IEC 15775:2022, Anhang G für 5 und 9 Stufen

$g^* = 100 [\Delta L^*_{min}] / [\Delta L^*_{max}]$, $L^*_{CIELAB} = 116 [Y/Y_n]^{1/3} - 16$ mit $Y >= 0,882$, $Y_n=100$

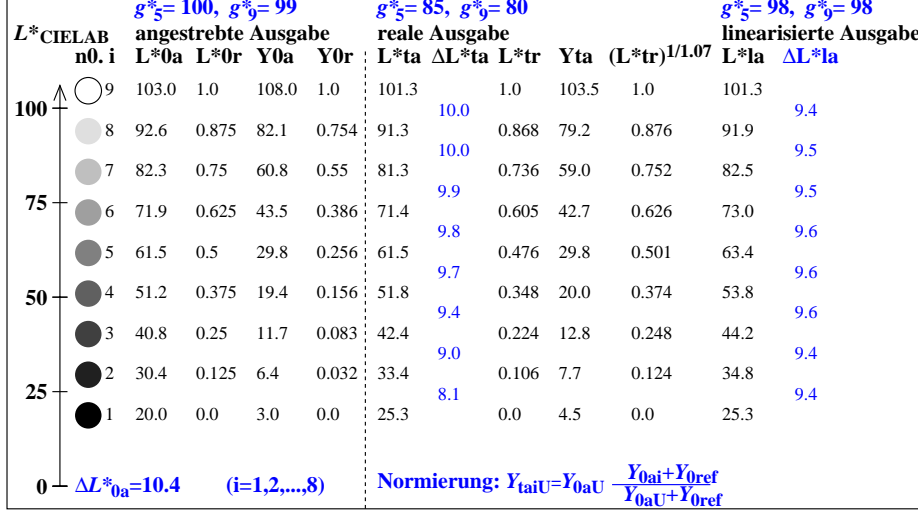


9stufige Grauskalierung zwischen $L^*_{0aN}=20.0$ und $L^*_{0aW}=103.0$, $Y_{0ref}=1.8$, Normierung Grau U

$L^*_{0aN}=20.0$, $L^*_{0aU}=61.5$, $L^*_{0aW}=103.0$, $Y_{0aN}=3.0$, $Y_{0aU}=29.8$, $Y_{0aW}=108.0$, $C_{0aY}=Y_{0aW}:Y_{0aN}=36.0$
 $L^*_{taN}=25.3$, $L^*_{taU}=61.5$, $L^*_{taW}=101.3$, $Y_{taN}=4.5$, $Y_{taU}=29.8$, $Y_{taW}=103.5$, $C_{taY}=Y_{taW}:Y_{taN}=22.9$

Regularitätsindex nach ISO/IEC 15775:2022, Anhang G für 5 und 9 Stufen

$g^* = 100 [\Delta L^*_{min}] / [\Delta L^*_{max}]$, $L^*_{CIELAB} = 116 [Y/Y_n]^{1/3} - 16$ mit $Y >= 0,882$, $Y_n=100$

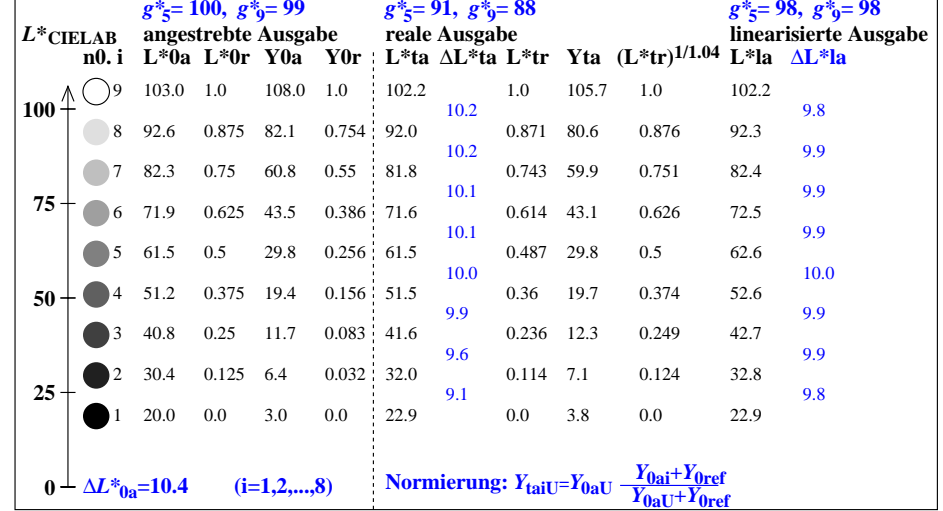


9stufige Grauskalierung zwischen $L^*_{0aN}=20.0$ und $L^*_{0aW}=103.0$, $Y_{0ref}=0.9$, Normierung Grau U

$L^*_{0aN}=20.0$, $L^*_{0aU}=61.5$, $L^*_{0aW}=103.0$, $Y_{0aN}=3.0$, $Y_{0aU}=29.8$, $Y_{0aW}=108.0$, $C_{0aY}=Y_{0aW}:Y_{0aN}=36.0$
 $L^*_{taN}=22.9$, $L^*_{taU}=61.5$, $L^*_{taW}=102.2$, $Y_{taN}=3.8$, $Y_{taU}=29.8$, $Y_{taW}=105.7$, $C_{taY}=Y_{taW}:Y_{taN}=27.9$

Regularitätsindex nach ISO/IEC 15775:2022, Anhang G für 5 und 9 Stufen

$g^* = 100 [\Delta L^*_{min}] / [\Delta L^*_{max}]$, $L^*_{CIELAB} = 116 [Y/Y_n]^{1/3} - 16$ mit $Y >= 0,882$, $Y_n=100$

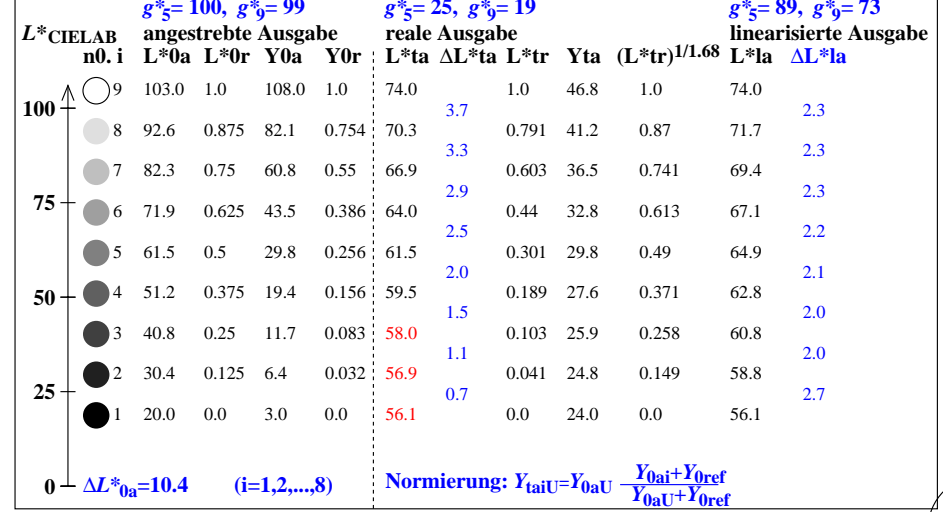


9stufige Grauskalierung zwischen $L^*_{0aN}=20.0$ und $L^*_{0aW}=103.0$, $Y_{0ref}=108.0$, Normierung Grau U

$L^*_{0aN}=20.0$, $L^*_{0aU}=61.5$, $L^*_{0aW}=103.0$, $Y_{0aN}=3.0$, $Y_{0aU}=29.8$, $Y_{0aW}=108.0$, $C_{0aY}=Y_{0aW}:Y_{0aN}=36.0$
 $L^*_{taN}=56.1$, $L^*_{taU}=61.5$, $L^*_{taW}=74.0$, $Y_{taN}=24.0$, $Y_{taU}=29.8$, $Y_{taW}=46.8$, $C_{taY}=Y_{taW}:Y_{taN}=1.9$

Regularitätsindex nach ISO/IEC 15775:2022, Anhang G für 5 und 9 Stufen

$g^* = 100 [\Delta L^*_{min}] / [\Delta L^*_{max}]$, $L^*_{CIELAB} = 116 [Y/Y_n]^{1/3} - 16$ mit $Y >= 0,882$, $Y_n=100$



Siehe ähnliche Dateien der ganzen Serie: http://farbe.li.tu-berlin.de/egks.htm
Technische Information: http://farbe.li.tu-berlin.de oder http://color.li.tu-berlin.de

TUB-Registrierung: 20230701-egk3/egk310na.txt /ps
Anwendung für Beurteilung und Messung von Display- oder Druck-Ausgabe
TUB-Material: Code=rh4ta